

علمی - تخصصی

بهبود احراز هویت مبتنی بر عنبیه چشم با ارائه معماری شبکه حسگر بیسیم با هدف حفظ حریم شخصی در اینترنت اشیاء صنعتی

کیوان برنا^{۱*}، امید مهدی عبادتی^۲، شایان زینلی^۳

۱- استادیار دانشکده علوم ریاضی و کامپیوتر، دانشگاه خوارزمی، ۲- استادیار دانشکده مدیریت دانشگاه خوارزمی

۳- دانش‌آموخته کارشناسی ارشد دانشکده مدیریت، دانشگاه خوارزمی

(دریافت: ۱۴۰۰/۰۴/۰۲، پذیرش: ۱۴۰۰/۰۶/۰۱)

چکیده

اینترنت اشیاء صنعتی امکان دسترسی سریع به اطلاعات درباره جهان فیزیک و اشیاء درون آن را فراهم می‌کند که منجر به خدمات جدید و افزایش کارایی و بهره‌وری می‌شود مخصوصاً در محیط‌های صنعتی و نظامی. شبکه حسگر بیسیم زیرساخت شبکه‌ای مهمی در اینترنت اشیاء به شمار می‌رود و تأیید هویت کاربر برای تأیید اعتبار کاربر برای WSNها، به‌عنوان ساز و کار امنیت پایه‌ای مورداستفاده قرار می‌گیرد. در این مقاله سعی بر آن است برای بهبود امنیت احراز هویت ارائه‌شده با استفاده از پردازش تصویر روشی جدید ارائه گردد. تجزیه و تحلیل توسط نرم‌افزار متلب انجام گرفته است. نتایج ارائه‌شده در این مقاله که شامل هفت مرحله است در شناسایی مردمک دارای درصد تشخیص صحیح ۹۳٪ می‌باشد. این هفت مرحله به ترتیب عبارتند از: ۱. کاهش نویز، ۲. یافتن مرز خارجی مردمک، ۳. جداسازی مژه‌ها، ۴. پیدا کردن مرز پلک‌ها، ۵. یافتن مرز خارجی عنبیه، ۶. جداسازی محدوده‌ی عنبیه، ۷. استخراج ویژگی و رمزگذاری پیکسل‌ها به روش رمزنگاری خم‌های بیضوی. با اندازه‌گیری‌ها و آزمایشات انجام‌شده مشخص گردید که روش پیشنهادی در شناسایی مرز پلک به روش معادله درجه دوم نسبت به معادله درجه سوم و روش تبدیل‌هاف سهمی از نظر زمانی بهینه و سریعتر می‌باشد. جهت استخراج ویژگی پارامترهای موثر در الگوریتم استخراج ویژگی سیفت موردبررسی و اندازه‌گیری قرار داده‌شده و پارامترهای بهینه انتخاب گردیدند. بدین‌صورت که پارامتر سیگما با مقدار ۲.۵ و پارامتر اکتاو با مقدار ۴ به‌عنوان بهترین مقادیر در نظر گرفته شوند. همچنین به‌منظور بررسی مقاومت روش پیشنهادی نسبت به عوامل ایجاد خطا مثل زاویه، روشنایی و مقیاس، روش پیشنهادی مورد آزمایش قرار گرفت و ثابت گردید که روش مذکور دارای مقاومت مناسب جهت تشخیص در شرایط مختلف می‌باشد.

کلید واژه‌ها: احراز هویت، شبکه حسگر بیسیم، حریم شخصی، اینترنت اشیاء صنعتی، پردازش تصویر

۱- مقدمه

خدمات و قابلیت اطمینان از فن‌آوری‌ها هنگامی که با اطلاعات حساس در ارتباط هستند نگرانی‌هایی را به وجود می‌آورد. کارت‌های هوشمند یکی از ابزارهایی است که برای امنیت بسیار مورداستفاده قرار می‌گیرد [۱ و ۲].

اینترنت اشیاء صنعتی^۱ یا به اختصار IIoT امکان دسترسی سریع به اطلاعات درباره جهان فیزیک و اشیاء درون آن منجر به خدمات جدید و افزایش کارایی و بهره‌وری می‌شود، مخصوصاً در محیط‌های صنعتی و نظامی [۳]. محیط IoT یک محیط مقید است؛ زیرا اشیاء دارای محدودیت‌هایی مانند قدرت پردازش، مقدار حافظه محدود و مصرف انرژی کم می‌باشند [۴ و ۵]. شبکه

امروزه، امنیت در هر سامانه که داده‌ها را ذخیره می‌کند بسیار مهم است؛ بنابراین آماده‌سازی امنیت مؤثر و قدرتمند یکی از عوامل مهم در هر سامانه می‌باشد. در سال‌های اخیر، دستگاه‌های محاسبات کوچک مانند تلفن همراه، دستیاران دیجیتال شخصی (PDA) سامانه‌های جاسازی‌شده، حسگرها و کارت‌های هوشمند نقش کلیدی در زندگی بشر به‌دست آورده‌اند و آن‌ها را به یک جزء جدایی‌ناپذیر از جهان مدرن تبدیل کرده است. این دستگاه‌ها به شدت در قدرت محاسباتی، حافظه و عمر باتری منابع محاسباتی، محدود هستند. چنین محدودیت‌هایی می‌تواند دستگاه‌ها را در برابر بسیاری از حملات امنیتی آسیب‌پذیر کند و نقص امنیتی را به وجود آورد. علاوه بر این، قابل اطمینان بودن

^۱ Industrial Internet of Things

* رایانامه نویسنده مسئول: borna@khu.ac.ir

ارائه شده با استفاده از الگوریتم ECC (که در رمزنگاری قوی عمل می کند) و الگوریتم های پردازش تصویر روشی جدید ارائه دهیم. برای بهبود عملکرد احراز هویت قصد داریم در این پژوهش شبیه سازی را با استفاده از شبیه ساز متلب انجام دهیم و الگوریتم کلی را بهینه کنیم، همچنین با استفاده از زبان برنامه نویسی PHP روندی دومرحله ای برای احراز هویت مبتنی بر رمز برای کاربر ایجاد شده. پیش از این کارهای مشابه با نرم افزارهایی مانند NS3 شبیه سازی انجام داده اند و الگوریتم های دیگر مانند RSA و سایر محیط ها استفاده شده است که به نظر می رسد با این نوآوری نتیجه بهبود یافته در زمینه احراز هویت در محیط IoT حاصل شود.

نتایج ارائه شده در این مقاله شامل هفت مرحله ذیل است: ۱. کاهش نویز، ۲. یافتن مرز خارجی مردمک، ۳. جداسازی مژه ها، ۴. پیدا کردن مرز پلک ها، ۵. یافتن مرز خارجی عنبیه، ۶. جداسازی محدوده ی عنبیه، ۷. استخراج ویژگی و رمزگذاری پیکسل ها به روش رمزنگاری خم های بیضی. روش پیشنهادی در شناسایی مرز پلک به روش معادله درجه دوم نسبت به معادله درجه سوم و روش تبدیل هاف سهمی از نظر زمانی بهینه و سریع تر می باشد و دارای درصد تشخیص صحیح ۹۳٪ می باشد. به منظور بررسی مقاومت روش پیشنهادی نسبت به عوامل ایجاد خطا مثل زاویه، روشنایی و مقیاس، روش پیشنهادی مورد آزمایش قرار گرفت و ثابت گردید که روش مذکور دارای مقاومت مناسب جهت تشخیص در شرایط مختلف می باشد.

ساختار این مقاله به شرح ذیل است: در بخش ۲ به بررسی روش تحقیق و مرور تاریخچه مسأله پرداخته می شود. بخش ۳ به مطالعه روش پیشنهادی طی هفت گام اختصاص یافته است. بخش ۴ به شبیه سازی روش پیشنهادی و ارزیابی کارایی آن می پردازد. نهایتاً در بخش ۵ به نتیجه گیری و کارهای آتی تخصیص یافته است.

۲- روش تحقیق

عنبنیه مجموعه ای پیچیده از ماهیچه ها در جلوی چشم می باشد، که دیدن و اندازه گیری آن آسان می باشد و به وسیله قرنیه و پلک چشمان به شدت مورد محافظت قرار می گیرد و احتمال آسیب رسیدن به آن در طول عمر هر فرد بسیار پایین است. شاکله بافت عنبنیه در طول عمر هر فرد قابل تغییر نبوده و پایدار تعریف شده است و میزان بالایی از توانمندی ساختاری و تقریباً وابستگی بسیار کمی به نوع ژن فرد را داراست. به همین دلیل می شود از

حسگر بیسیم (WSN)، زیرساخت شبکه ای مهمی در اینترنت اشیا (IIoT) به شمار می رود و می توان آن را به طور گسترده ای در بسیاری از زمینه های صنعتی با ترکیب فناوری محاسبات ابری [۶] برای جمع آوری داده ها برای کارکردهایی مانند نظارت و مدیریت فرآیند صنعتی، نظارت بر صحت کارکرد ماشین و تشخیص خطا به کار گرفت [۷]. چگونگی شناسایی اعتبار هویت کاربران چالش کلیدی برای امنیت IIoT یا WSN به شمار می رود. علاوه بر مدیریت کلیدی، تأیید هویت کاربر برای تأیید اعتبار کاربر برای WSN ها، به عنوان ساز و کار امنیت پایه ای مورد استفاده قرار می گیرد [۸]. محققان بسیاری پروتکل های تأیید هویت کاربر را برای WSN ها پیشنهاد کرده اند. استاندارد عمومی استانداری است که کاربر، درگاه و حسگر باید احراز هویت متقابل را دریافت کنند. کاربر می تواند ارتباط را با ارسال یک پیام ورود به درگاه آغاز کند [۹] و سپس درگاه ارتباطی با حسگر خاص برای جمع آوری اطلاعات درخواست شده توسط کاربر برقرار می شود. در انتها کاربر پیام را از درگاه دریافت می کند. با این حال، WSN به دلیل ویژگی باز بودن کانال بیسیم از حملات مخرب اشباع می شود. علاوه بر این، محدودیت منابع گره های حسگر باعث می شود که الگوریتم های رمزنگاری کلیدی عمومی مانند RSA برای محیط WSN مناسب نباشند [۱۰]. این الگوریتم در کنار الگوریتم رمزنگاری منحنی بیضی ECC از شناخته شده ترین الگوریتم های رمزنگاری می باشد و به علت اینکه RSA در اینجا مناسب نمی باشد از الگوریتم ECC بهره می گیریم. رمزنگاری منحنی بیضی (ECC) یک روش رمزگذاری مبتنی بر نظریه منحنی بیضی است که می تواند برای ایجاد سریع تر، کوچک تر و کارآمدتر کلیدهای رمزنگاری استفاده شود. ECC از طریق خواص معادله منحنی بیضی به جای روش تولید سنتی به عنوان محصول اعداد اول بسیار بزرگ تولید می کند. این فناوری را می توان در ارتباط با بیشتر روش های رمزنگاری کلید عمومی مانند RSA و Diffie-Hellman استفاده کرد. به گفته برخی از محققان، ECC می تواند سطح امنیت را با یک کلید ۱۶۳ بیتی تولید کند که سایر سامانه ها نیاز به کلید ۱۰۲۴ بیتی برای دستیابی به آن دارند. از آنجاکه ECC به ایجاد امنیت معادل با استفاده از توان کم محاسبات و باتری کمک می کند، به طور گسترده ای برای برنامه های تلفن همراه مورد استفاده قرار می گیرد. در [۱۲] نویسندگان به مسأله به کارگیری شبکه های مبتنی بر نرم افزار جهت ارتقای امنیت در اینترنت اشیا پرداختند.

در این مقاله قصد داریم برای بهبود امنیت احراز هویت

منع سرویس^۵ آسیب‌پذیر است و برای غلبه بر این مشکلات یک پروتکل احراز هویت جدید ارائه کردند و ادعا کردند که پروتکل پیشنهادی‌شان در برابر حملات مختلف امنیتی امن و مقاوم است. باین‌وجود در سال ۲۰۰۷ ونگ و همکاران [۱۹] امنیت پروتکل-های ارائه‌شده توسط کومار [۱۶] و یون و همکاران [۱۸] را تحلیل کردند و نشان دادند که این پروتکل‌ها نسبت به حملات جعل هویت، حدس رمز عبور به‌صورت برون خط^۶ و منع سرویس^۷ آسیب‌پذیر هستند. علاوه بر این، آن‌ها یک پروتکل احراز هویت جدید جهت بهبود امنیت پروتکل‌های قبلی ارائه کردند.

در سال ۲۰۱۱ آواسی و همکاران [۱۹] نیز یک پروتکل احراز هویت بهبودیافته ارائه کردند و ادعا کردند که پروتکل پیشنهادی‌شان در برابر حملات مختلف امنیتی امن هست. اما کوماری و همکاران [۲۱] نشان دادند که پروتکل احراز هویت ارائه‌شده توسط آواسی و همکاران [۲۰] نسبت به حمله حدس رمز عبور به‌صورت برون خط آسیب‌پذیر است و همچنین محرمانگی رو به جلو^۸ را نیز فراهم نمی‌کند. علاوه بر این نشان دادند که در پروتکل ارائه‌شده توسط آواسی و همکاران کاربر و سرویس‌دهنده روی هیچ‌گونه کلیدی توافق نمی‌کنند، یعنی پروتکل آواسی و همکاران توافق کلید را فراهم نمی‌کند. سپس جهت غلبه بر این مشکلات، یک پروتکل احراز هویت و توافق کلید جدید ارائه دادند.

در سال ۲۰۱۳ چانگ و همکاران [۲۲] نشان دادند که پروتکل احراز هویت و توافق کلید ارائه‌شده توسط ونگ و همکاران [۱۹] نسبت به حمله منع سرویس آسیب‌پذیر است. آن‌ها همچنین ادعا کردند که از آنجایی‌که این پروتکل شناسه کاربر در تمام پیام‌های درخواست ورود کاربر ثابت و بدون تغییر است، فعالیت‌های کاربران در آن پروتکل قابل ردیابی است و در واقع این پروتکل غیرقابل ردیابی بودن^۹ را فراهم نمی‌کند. چند سال بعد ژیناگ و همکارانش [۲۳] مورد بهبودیافته از [۲۲] را پیشنهاد دادند که البته بار محاسباتی نسبتاً بالایی دارد. اخیراً، گوپ و همکاران [۲۴] پروتکل احراز هویت، سبکی را با ناشناس‌سازی کاربر برای شبکه‌های حسگر بیسیم استفاده کردند که در واقع تطابقی بین امنیت و بازدهی است بدین معنا که یک پروتکل دوامی رمزگشایی را برای این شبکه‌ها طراحی شده است.

بافت عنیبه که منحصرأ برای هر شخص است برای تشخیص شناسایی انسان‌ها استفاده کرد. اما مکان‌یابی، تشخیص و مستخرج کردن مشخصه‌های عنیبه در نوع خود چالشی بزرگ محسوب می‌شود.

۲-۱- مرور تاریخچه مسأله

در سال ۱۹۸۱ لمپورت [۱۳] اولین پروتکل احراز هویت را ارائه کرد که مبتنی بر توابع درهم‌ساز^۱ هست، سرویس‌دهنده مقدار درهم‌سازی شده‌ی رمز عبور کاربران (تصدیق‌کننده‌ی هویت کاربران) را درون جدولی به نام جدول کاربران ذخیره می‌کند و هویت کاربران را بر اساس این مقادیر بررسی و احراز می‌کند. هرچند پروتکل لمپورت یک پروتکل بسیار ساده و سبک وزن است ولی محققین زیادی از جمله لنون و همکاران [۱۴] و همچنین یون و لیاو [۱۵] نشان داده‌اند که این پروتکل در مقابل حمله دزدیدن تصدیق‌کننده‌ی کاربران^۲ آسیب‌پذیر است. این حمله بیانگر این موضوع است که یک دشمن با حمله و نفوذ به پایگاه داده سرویس‌دهنده می‌تواند به اطلاعات محرمانه تصدیق‌کننده‌ی کاربران دست یابد و از آن‌ها برای فریب دادن و جعل هویت کاربران و همچنین سرویس‌دهنده استفاده کند. علاوه بر این، هر یک از این محققین پروتکل‌های احراز هویت دیگری ارائه داده‌اند. در واقع این نوع پروتکل‌های احراز هویت فقط بر اساس دانش کاربر (داشتن یک رمز عبور) هستند در دسته پروتکل‌های احراز هویت تک عاملی قرار می‌گیرند. در پروتکل‌های احراز هویت تک عاملی، سرویس‌دهنده مجبور به نگهداری تصدیق‌کننده‌ی هویت کاربران در پایگاه داده خود است تا بر اساس آن‌ها کاربران را احراز هویت کند؛ اما همان‌طور که گفته شد یک دشمن می‌تواند به پایگاه داده‌ی سرویس‌دهنده نفوذ کند و این اطلاعات را به‌دست آورد. از این رو، کارهای متعددی برای نگهداری تصدیق‌کننده‌ی کاربران به‌صورت امن و محافظت‌شده در پایگاه داده سرویس‌دهنده انجام شده است.

در سال ۲۰۰۴ کومار [۱۶] امنیت پروتکل احراز هویت بهبود یافته ارائه‌شده توسط چن و همکاران [۱۷] را تحلیل کردند و نشان دادند که این پروتکل نسبت به حمله نشست موازی^۳ و همچنین حمله عامل خودی^۴ آسیب‌پذیر است. سپس جهت افزایش امنیت، یک پروتکل احراز هویت جدید ارائه دادند. متأسفانه در همان سال یون و همکاران [۱۸] نشان دادند که پروتکل کومار [۱۶] نیز در مقابل حمله نشست موازی و حمله

⁵ Denial-of-Service attack

⁶ Off-line password guessing attack

⁷ Denial of Service attack

⁸ Perfect forward secrecy

⁹ Untraceability

¹ Hash functions

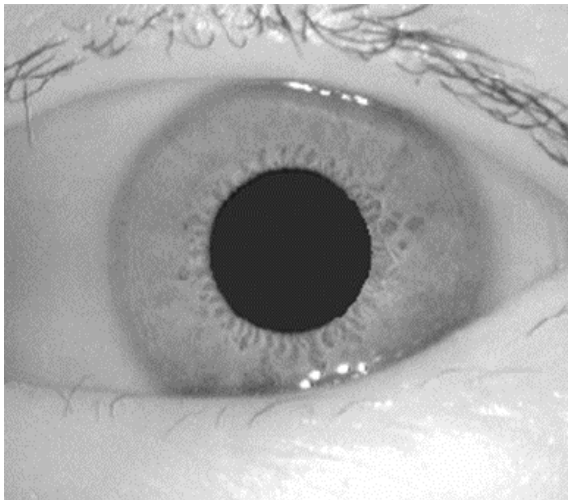
² Stolen verifier attack

³ Parallel session attack

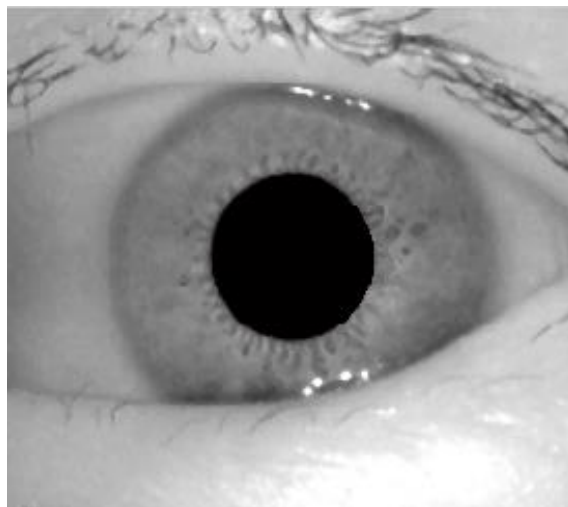
⁴ Insider attack

شکل‌های (۲ و ۳) جهت کاهش نویز در تصاویر ورودی اول کانال‌های RGB تصاویر از یکدیگر جدا خواهند شد. پس از آن فیلتر میانه باهدف کاهش نویزهای احتمال داده شده‌اند، مورد استفاده قرار گرفته است. فیلتر میانه یک نوع فیلتر آماری است و به صورت معمول از یک طرح مرکز نقطه مناسب مورد ارزیابی و محاسبه قرار می‌گیرد. طرح مدنظر در روش پیشنهادی پژوهش حاضر 3×3 می‌باشد. لذا نیازمند پردازش ۹ پیکسل در طرحی مرکزی با مختصات (x,y) می‌باشد.

پس از اعمال فیلتر وسطی بر روی هر یک از کانال‌های RGB و پس از آن دوباره هر سه کانال را با یکدیگر یکی کرده و یک تصویر مجموع به دست می‌آوریم تا در مرحله بعد فاز لبه‌یابی انجام شود.



شکل (۲): تصویر ورودی اول کانال‌ها



شکل (۳): تصویر خروجی فیلتر شده جهت کاهش نویز

در همین راستا در این مقاله قصد داریم برای بهبود امنیت احراز هویت ارائه شده با استفاده از الگوریتم ECC که در رمزنگاری نسبت به RSA مزایایی را از جهات طول کلید و پردازش‌ها و فضای ذخیره‌سازی فراهم می‌سازد، روشی جدید ارائه دهیم. در واقع از مزایای الگوریتم RSA که کارایی زیادی در رمزنگاری نامتقارن دارد در کنار ECC استفاده می‌کنیم. بخصوص در مواردی که اندازه پیام‌ها متوسط و طرف رمزنگاری قدرت محاسباتی محدودی دارد یا رمزگشایی به ندرت رخ می‌دهد سبب بهبود نتایج در زمینه احراز هویت در محیط IoT می‌شود. قصد داریم با استفاده از الگوریتم ECC و مشخصات بیومتریکی تعدادی نمونه به شبیه‌سازی با نرم‌افزار متلب پردازیم. برگ خریدهای مؤثر در بهبود امنیت در پژوهش حاضر مواردی مانند تشخیص ورود اشتباه رمز عبور، مقاومت در برابر حمله و تأیید هویت کاربر می‌باشد.

۳- روش پیشنهادی

روش پیشنهادی پژوهش حاضر شامل ۷ مرحله می‌باشد که پس از دریافت تصویر ورودی به شرح مندرج در شکل (۱) باید اعمال گردند:

۱. کاهش نویز،
۲. یافتن مرز خارجی مردمک،
۳. جدا سازی مژه‌ها،
۴. پیدا کردن مرز پلک‌ها،
۵. یافتن مرز خارجی عنبیه،
۶. جداسازی محدوده‌ی عنبیه،
۷. استخراج ویژگی و رمزگذاری پیکسل‌ها به روش ECC.

شکل (۱): مراحل هفت‌گانه روش پیشنهادی

از همین رو در ادامه به تشریح مراحل روش پیشنهادی پژوهش حاضر پرداخته خواهد شد.

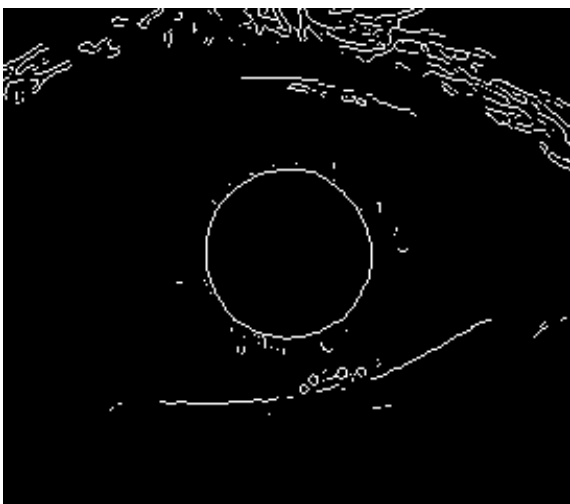
۳-۱- کاهش نویز

به‌طور کلی در مسائلی همچون یافتن لبه‌های یک تصویر، نویز موجب تخریب لبه‌ها خواهد شد و باعث می‌شود که لبه‌ها به صورت دقیق و شفاف تشخیص داده نشوند. لذا با توجه به

هستند. جهت حذف این لبه‌های ضعیف در خروجی به‌دست‌آمده، الگوریتم لبه‌یابی سوبل^۴ مورد استفاده قرار گرفته است. الگوریتم مدنظر شبیه به فیلتر میانه از یک طرح جهت استخراج لبه‌های تصویر ورودی استفاده می‌کند. الگوی جهت استفاده در این پژوهش الگوی ۳×۳ می‌باشد. شکل (۵) خروجی لبه‌یابی شده حاصل از الگوریتم سوبل را به معرض نمایش قرار می‌دهد



شکل (۴): خروجی نهایی لبه‌یابی به وسیله الگوریتم کانی



شکل (۵): خروجی لبه‌یابی شده حاصل از الگوریتم سوبل

همان‌گونه که در خروجی (۵) قابل مشاهده است. هیچ اثری از لبه‌های ضعیف در تصویر خروجی مشاهده نمی‌شود و لبه‌های قوی‌تر به‌جای مانده است. از همین رو در مرحله بعد جهت تقویت لبه‌های قوی باقی‌مانده در خروجی حاصل از مرحله قبل یک فیلتر لاپلاسیان به خروجی وارد خواهیم کرد. با اعمال این

Canny algorithm

// Finding the edges of the input picture

1- Compute f_x and f_y

$$f_x = \frac{\partial}{\partial x}(f * G) = f * \frac{\partial}{\partial x}G = f * G_x$$

$$f_y = \frac{\partial}{\partial y}(f * G) = f * \frac{\partial}{\partial y}G = f * G_y$$

$G(x, y)$ is the Gaussian function

$G_x(x, y)$ is the derivate of $G(x, y)$ with respect to x : $G_x(x, y) =$

$$\frac{-x}{\sigma^2} G(x, y)$$

$G_y(x, y)$ is the derivate of $G(x, y)$ with respect to y : $G_y(x, y) =$

$$\frac{-y}{\sigma^2} G(x, y)$$

2- Compute the gradient magnitude

$$magn(i, j) = \sqrt{f_x^2 + f_y^2}$$

3- Apply non-maxima suppression.

4- Apply hysteresis thresholding/edge link

//Threshold of the edge is found

۲-۳- یافتن مرز خارجی مردمک چشم

بعد از حذف کامل نویز یک مرحله پیش از تخمین اولیه از نقاطی که می‌توان آن‌ها را به‌عنوان لبه تلقی کرد انجام می‌شود. در ابتدا تصویر از فضای رنگی^۱ به فضای خاکستری رنگ^۲ تغییر وضعیت داده خواهد شد و پس از آن الگوریتم لبه‌یابی کانی^۳ با هدف پیدا نمودن لبه‌های تصویر مورد استفاده قرار خواهد گرفت. از این‌رو شکل (۴) خروجی نهایی لبه‌یابی شده توسط الگوریتم مورد استفاده را نمایش می‌دهد.

همان‌گونه که در خروجی شکل (۴) قابل مشاهده است الگوریتم مورد استفاده تمامی لبه‌های تصویر را مورد شناسایی قرار داده است. ولی نقاط زیادی از نقاط شناسایی شده در خروجی به‌دست‌آمده جز لبه‌ها نبوده و الگوریتم دچار اشتباه شده و آن‌ها را به‌عنوان لبه شناسایی کرده است که در واقع ناراستی یا انحنا

^۱ RGB

^۲ gray style

^۳ canny

^۴ Sobel



شکل (۶): وارد کردن فیلتر لاپلاسیان بر روی خروجی به دست آمده از مرحله قبل

در مرحله بعد نیز با اجرای فرمان ام‌فایل^۱ تمامی چاله‌هایی که در خروجی وجود دارد را پر نموده تا در مرحله آتی جهت شناسایی مرز مردمک از مبدل‌هاف استفاده کنیم. شکل (۷) خروجی به دست آمده از پر کردن چاله‌ها را نشان می‌دهد.



شکل (۷): خروجی به دست آمده از پر کردن چاله‌ها

در مرحله بعدی جهت شناسایی مرز مردمک یک تبدیل هاف دایره‌ای را می‌توان اجرا کرد.

تبدیل هاف^۲ یک فن معروف است که به وسیله آن می‌توان خطوط راست و حتی اشکال دایره‌ای را در یک تصویر تشخیص داد. در واقع جهت شناسایی و پیدا کردن یک شکل ویژه در خروجی به دست آمده با تبدیل هاف نیاز است که شکل مورد نظر دارای فرم پارامتری ویژه و مشخصی باشد. همین دلیل مهمی

فیلتر به خروجی، خروجی جدیدی به دست می‌آید که پس از انجام این عمل در آن اندازه نقطه‌هایی که شامل لبه هستند افزایش و اندازه نقطه‌هایی که شامل لبه نیستند صفر شده است. شکل (۶) خروجی فیلتر شده با ماسک لاپلاسیان را نمایش می‌دهد.

Sobel algorithm

// Finding more accurate edges of the input picture to remove outlier edges

- 1- Implementing sobel mask

$$G_x = (z_7 + 2z_8 + z_9) - (z_1)$$

- 2- Find the y-direction derivative: Subtract the first column from the third column using the mask

$$G_y = (z_3 + 2z_6 - z_9) - (z_1 - 2z_2 + z_7)$$

- 3- Find the Gradient magnitude

$$G$$

- 4- Finding the gradient direction

$$\theta$$

// Unnecessary and outlier edges of the eyes are removed

Laplacian algorithm

// Boosting the remained edges of the input picture for a faster and more accurate detection

$$\nabla^2 f = \frac{\partial^2 f}{\partial x^2} + \frac{\partial^2 f}{\partial y^2}$$

Where the second order derivative in the x direction is defined as follow

$$\frac{\partial^2 f}{\partial x^2} = f(x+1, y) + f(x-1, y) - 2f(x, y)$$

And the y direction as follows

$$\frac{\partial^2 f}{\partial y^2} = f(x, y+1) + f(x, y-1) - 2f(x, y)$$

// Filtered the unnecessary edges and have a boosted required part of the eyes for better detection

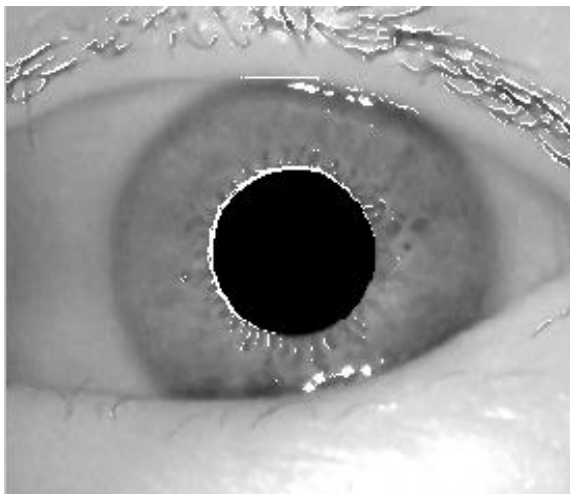
¹ M.fill

² Hough Transform

همان گونه که در خروجی شکل (۸) قابل مشاهده است. مرز داخلی مردمک چشم به وضوح قابل مشاهده است. پارامترهای (x, y, r) که به ترتیب بیانگر مختصات افقی، عمودی و شعاع مرکز مردمک چشم است ذخیره خواهند شد تا در ادامه برای تشخیص مرز خارجی عنبیه استفاده شوند.

۳-۳- تفکیک مژه‌ها

مژه اندامی بلند و نازک می‌باشد که دارای ضخامتی به اندازه ۱ یا ۲ پیکسل می‌باشد. به دلیل اینکه مژه‌ها عمدتاً دارای رنگی تیره هستند و نسبت به سایر نقاط شدت نور کمتری دارند، نقاطی از خروجی را که اندازه اختلاف میزان نور هر پیکسل با پیکسل سمت پایینی و یا با پیکسل سمت راستی خودش بالاتر از بیست باشد را مژه در نظر خواهیم گرفت و جهت از بین بردن آن نقطه اندازه رنگ آن پیکسل را مساوی با ۲۵۵ در نظر خواهیم گرفت. شکل (۹) خروجی به دست آمده از مرحله تفکیک یا جداسازی مژه‌ها را نشان می‌دهد.



شکل (۹): خروجی به دست آمده از مرحله تفکیک یا جداسازی مژه‌ها

۳-۳-۱- تعیین مرز پلک‌ها

همان گونه که در خروجی شکل (۴) قابل مشاهده است. با در نظر گرفتن پلک‌ها به صورت یک سهمی و جهت تشخیص آن‌ها می‌توان نقطه‌های لبه مدنظر را به دست آورد و با استفاده از تبدیل هاف سهمی ویژگی‌های سهمی گذرا از لبه‌ها را به دست آورد. اما به دلیل اینکه حل معادله به دست آمده که شامل ۴ پارامتر است زمان بر می‌باشد و نیاز به محاسبات سنگین هست، هر پلک با یک معادله درجه سوم تخمین زده خواهد شد. جهت انجام این کار ابتدا می‌بایست نقاطی از پلک را تعیین کنیم. به صورتی که اول با به کار بردن از لبه‌یاب سوبل و در جهت محور افقی خروجی را لبه‌یابی خواهیم کرد. و پس از آن در راستای

هست که از تبدیل هاف جهت شناسایی و پیدا کردن شکل‌هایی مثل سهمی، دایره و خط در خروجی‌های به دست آمده استفاده می‌شود. یکی از مهم‌ترین مزایای تبدیل هاف در یافتن خط و دایره در تصویر این است که نسبت به همپوشانی حساس نیست. کیفیت نهایی خروجی و تشخیص تا حد زیادی به کیفیت تشخیص لبه بستگی دارد. همچنین عامل مهم دیگر در کیفیت خروجی این است که چه مقدار دانش پیشین درباره اندازه دایره‌ای در اختیار است که قصد تشخیص آن در تصویر را داریم. با اعمال تبدیل هاف بر روی خروجی به دست آمده از مرحله قبلی مرکز و شعاع دایره مرکزی مردمک مشخص خواهد شد. شکل (۸) خروجی حاصل از اعمال الگوریتم تبدیل هاف بر روی خروجی به دست آمده از مرحله قبل را به نمایش می‌گذارد.

Finding circles by hough transform

// Finding the circle of the iris for detection of the specific person

For all x

For all y

If edge point at (x, y)

For all θ

$$\rho = x * \cos(\theta) + y * \sin(\theta)$$

Increment (add 1 to) the cell in H corresponding to (θ, ρ)

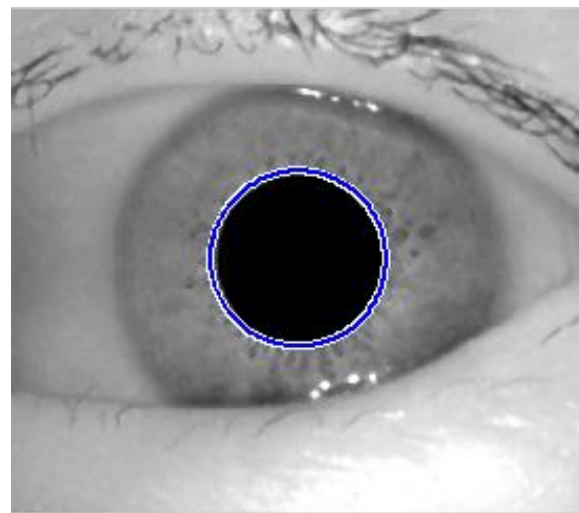
End

End

End

End

// The specific part of the eye (Iris) is detected. This will help to detect a specific person



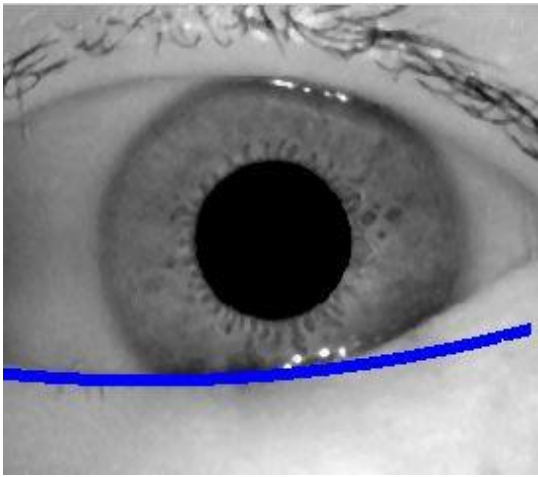
شکل (۸): تشخیص مرز داخلی مردمک خروجی

همین رو نقاط ذکر شده به‌عنوان نقطه‌های منتخب سهمی در نظر گرفته می‌شوند به‌عبارت‌دیگر:

$$\text{If } P(i, j) == 1 \ \&\& \ P(i-1, j+1) == 1 \ \&\& \\ P(i-1, j-1) == 1$$

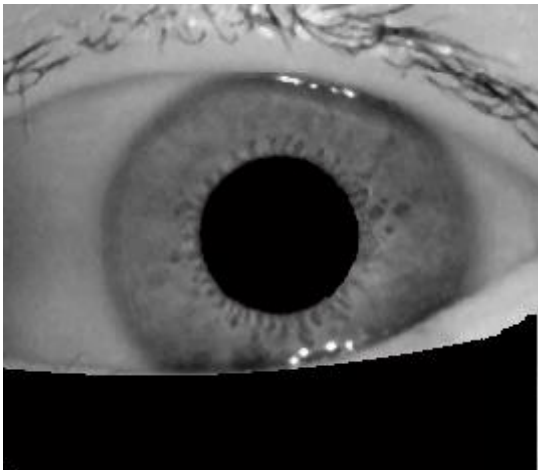
Then $P(i, j)$ is a Candidate Point

پس از آن مختصات همه نقطه‌های منتخب در خروجی حاصل‌شده و با فرمان $\text{polyfit}(x, y, 2)$ ضریب‌های معادله درجه ۲ گذرا از نقطه‌های منتخب حاصل می‌شود و با داشتن ضریب‌های معادله می‌توان سهمی گذرا از نقطه‌های منتخب را ترسیم کرد. شکل (۱۲) یک نمونه از مشخص شدن پلک را نشان می‌دهد.



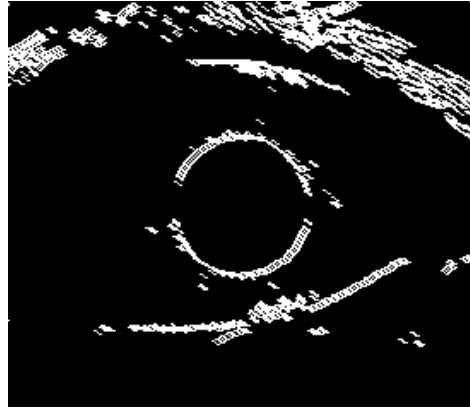
شکل (۱۲): مشخص شدن مرز پلک به شکل سهمی درجه ۲

در مرحله بعد جهت جدا کردن محدوده پلک زیرین همه پیکسل‌های زیر سهمی به‌دست‌آمده را به صفر تبدیل نموده تا در مرحله استخراج ویژگی از این ناحیه که جز عنبیه نیست ویژگی استخراج نشود. شکل (۱۳) یک نمونه از حذف پیکسل‌ها را به ما نشان می‌دهد.



شکل (۱۳): از بین بردن پیکسل‌های زیر سهمی

بهبود لبه‌های به‌دست‌آمده از عملگر مورفولوژی Dilation با یک ساختار خطی با اندازه ۵ و جهت ۲۵- درجه استفاده خواهیم کرد. شکل (۱۰) خروجی به‌دست‌آمده از عملگر Dilation بر روی خروجی را نشان می‌دهد.



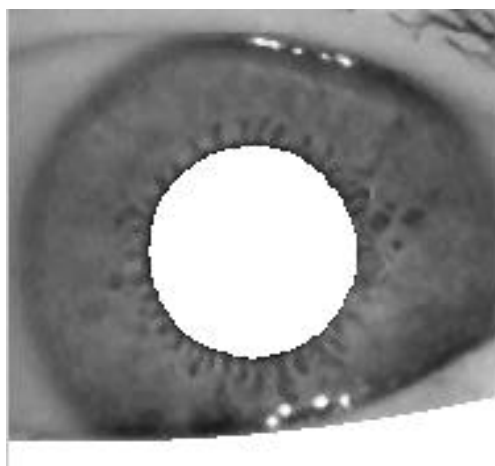
شکل (۱۰): نتیجه به‌دست‌آمده از عملگر Dilation بر روی خروجی

با توجه به اینکه پلک پایین همیشه در منطقه پایین‌تر از مرکز عنبیه واقع شده است، لیکن در نقطه پایین‌تر از خط افقی گذرا از مرکز محدوده چشم که در مرحله تشخیص مردمک حاصل‌شده است در جستجوی نقطه‌های تشکیل‌دهنده پلک خواهیم بود. به همین ترتیب از آنجایی که پلک پایین یک سهمی رو به بالا هست لذا نقطه‌هایی که بر روی لبه‌ها شامل شرط موجود در خروجی (۱۱) باشد را به‌عنوان نقطه‌های متشکل پلک در نظر خواهیم گرفت:

	$p(i-1, j-1)$		$p(i-1, j+1)$	
		$P(i, j)$		

شکل (۱۱): نتیجه به‌دست‌آمده از عملگر Dilation بر روی خروجی در بعدها کوچک‌تر

هر پیکسل مثل $P(i, j)$ که اندازه آن ۱ پیکسل و مقادیر پیکسل‌های اطرافی آن $p(i-1, j+1)$ و $p(i-1, j-1)$ نیز مساوی ۱ باشد می‌تواند به‌عنوان نقطه‌ای از یک سهمی محسوب شود. از



شکل (۱۵): حذف محدوده مردمک و زیر سهمی پلک پایین و بریدن محدوده عنبیه

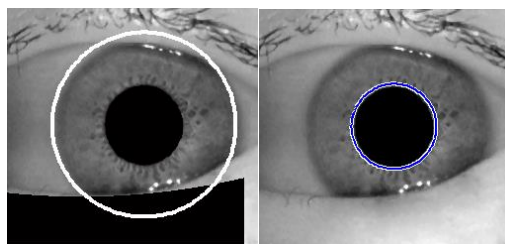
۳-۳-۴ - مرحله استخراج ویژگی

به منظور واکنشی خصوصیات مقاوم و مناسب در برابر عوامل به وجود آورنده خطا معرفی شده (فاصله، شرایط روشنایی، زاویه و ...) از الگوریتم‌های استخراج خصوصیات سیفت استفاده خواهد شد.

الگوریتم تبدیل ویژگی مستقل از مقیاس (SIFT) یک راهبرد تناظریابی عارضه مبنا است که به منظور انجام فرایند شناسایی الگو در تصاویر اپتیکی مدنظر قرار گرفته شده است. در واقع این الگوریتم برای استخراج ویژگی‌های مشخص از تصاویر، برای به کارگیری در الگوریتم‌های تطبیق نماهای مختلف یک جسم و شناسایی اجسام به کار می‌رود. مشخصه‌های به دست آمده در این الگوریتم جدا از تغییرات روشنایی، دوران، پایدار در مقابل نویز، تغییر موقعیت گرفتن تصویر و مقیاس می‌باشد. به منظور پیاده‌سازی الگوریتم سیفت، توابع متلب مورد استفاده قرار گرفته است. الگوریتم سیفت شامل مولفه‌هایی می‌باشد که بر روی کارکرد الگوریتم تأثیرگذار است و مولفه‌های مناسب مورد اندازه‌گیری قرار گرفته‌اند. مولفه سیگما در فیلتر گوسین به عنوان یک فیلتر (low pass) عمل خواهد کرد و هر چه میزان شدت و اندازه آن بالاتر باشد خروجی مات تر خواهد شد و خصوصیات و عارضه‌های به دست آمده کمتر خواهند شد. مقدار در نظر گرفته شده برای این مولفه $2/5$ می‌باشد. یکی دیگر از مولفه‌های تأثیرگذار و دارای اهمیت در کارایی الگوریتم‌های سیفت مولفه اکتاو هست که تعداد در نظر گرفته شده ۴ اکتاو می‌باشد. به علاوه تعداد تصاویر در نظر گرفته شده در هر اکتاو نیز در این الگوریتم سه تصویر می‌باشد. خروجی الگوریتم سیفت برای هر نقطه بیانگر عارضه یک بردار 128 تایی خواهد بود. همین‌طور جهت تناظریابی و تشخیص نقطه‌های متناظر از فاصله اقلیدسی به منظور بردارهای ویژگی حاصل شده استفاده شده است. نمونه‌ای از تناظریابی به دست آمده در شکل (۱۶) نشان داده شده است.

۳-۳-۲ - تشخیص مرز خارجی عنبیه

اصلی‌ترین و ویژه‌ترین مرحله قطعه‌بندی و شناختن عنبیه مرز خارجی بین عنبیه و صلبیه است. چون در وحله اول در این منطقه مرز مشخص و تعیین شده‌ای وجود ندارد و اختلاف میزان اندازه نور عنبیه و صلبیه در مرز بسیار ناچیز است و در وحله دوم نقطه‌های لبه دیگر که اختلاف میزان نور در آن‌ها خیلی زیادتر از مرز عنبیه و صلبیه است در تصویر چشم موجود نیست. لذا نتیجه می‌گیریم الگوریتم‌های لبه‌یاب که توانایی مشخص کردن لبه‌های مربوط به مرز خارجی عنبیه را دارند آن‌ها را به عنوان لبه تشخیص می‌دهند. که این تشخیص خود موجب به وجود آمدن خطا می‌شود. از همین رو جهت مشخص شدن مرز عنبیه از مختصات به دست آمده‌ی مرکز مردمک چشم که در مرحله مشخص شدن مردمک به دست آمده استفاده می‌شود. به این صورت که مرکز مردمک و عنبیه به یک اندازه می‌باشد. سپس مختصات (x,y) به دست آمده جهت مرکز مردمک چشم همان مختصات دایره عنبیه خواهد بود. از آن جهت که به طور معمول شعاع عنبیه چشم حدود 50 پیکسل هست، شعاع مردمک چشم r را با 50 پیکسل جمع می‌کنیم و به عنوان شعاع عنبیه مدنظر قرار خواهیم داد. بدین ترتیب مشخصه‌ها $(x,y,r+50)$ به عنوان مشخصه‌ها و شعاع عنبیه چشم در نظر گرفته می‌شود و دایره گذرا از این مشخصه‌ها نیز مرز بین عنبیه و صلبیه در نظر گرفته شده است. شکل (۱۴) یک نمونه از تشخیص مرز عنبیه را نشان خواهد داد.



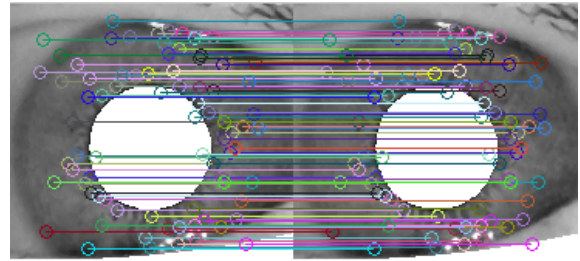
شکل (۱۴): تشخیص مرز خارجی مردمک و عنبیه

۳-۳-۳ - تفکیک محدوده عنبیه

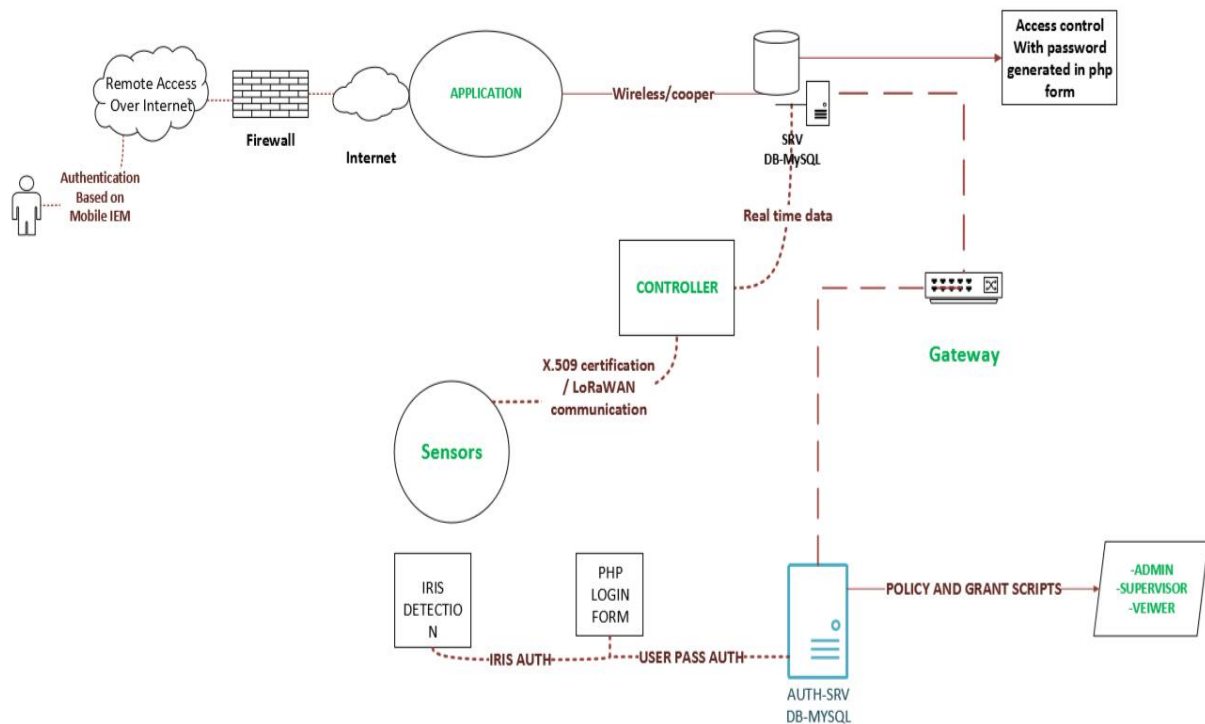
باهداف استخراج خصوصیت‌های مفید از عنبیه باید در وحله اول محدوده‌ی عنبیه از خروجی بریده شود و استخراج ویژگی فقط از این ناحیه صورت پذیرد از همین رو جهت انجام این مرحله بعد از مراحل تشخیص مرز بین عنبیه و صلبیه ناحیه مردمک و سطح زیر پلک پایین از خروجی حذف خواهند شد و یک ناحیه مربعی به طول شعاع عنبیه از خروجی اصلی بریده خواهد شد تا در مرحله استخراج ویژگی فقط از ناحیه عنبیه ویژگی استخراج شود. شکل (۱۵) نتیجه‌های به دست آمده از این مرحله‌ها را نشان می‌دهد.

۳-۴- ساختار مدل احراز هویت دو مرحله ای

این مدل با توجه به اهمیت برقراری امنیت در برابر حملات و حفظ حریم خصوصی ارائه شده است. به این صورت که با طراحی یک فرم php که در تمامی فیلدها کنترل اطلاعات ورودی برقرار است و در برابر حمله Sql Injection با استفاده از توزیع PDO جهت محافظت Sql Database مقاوم می‌باشد، طراحی شده است.

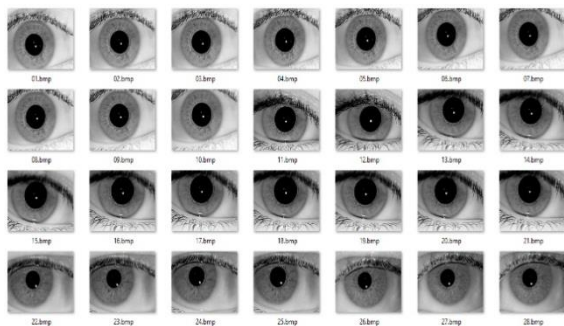


شکل (۱۶): تناظریابی خصوصیات سیفت به دست آمده در دو خروجی



شکل (۱۷): احراز هویت دو مرحله ای

شبیه‌سازی الگوریتم ارائه شده توسط نرم‌افزار MATLAB R2015B و روی سیستم عامل ویندوز ۸/۱ بر روی دستگاه لپ‌تاپ RAM:16GB-20307MHz, CPU: SONY svf143 با مشخصات corei7-1.80GHZ انجام گرفته است.



شکل (۱۷): نمونه‌هایی از تصویرهای پایگاه داده CASIA

۴- شبیه‌سازی

در این پژوهش، به منظور صحت‌سنجی و تست مناسب‌تر روش پیشنهاد شده داده‌های پایگاه CASIA مورد استفاده قرار گرفته است. در این آزمایش‌ها پایگاه داده عنیبه CASIAVersion1.0 نام‌گذاری می‌شود، که ۷۵۶ تصویر به صورت خاکستری گرفته شده است؛ که داده‌های ۱۰۸ کاربر مختلف می‌باشد. برای هر کاربر ۷ تا ۱۰ تصویر خاکستری در نظر گرفته شده، که در دو بازه زمانی متفاوت گرفته شده است به صورتی که به فواصل زمانی یک‌ماهه می‌باشند. این تصویرها به صورت ویژه جهت شناسایی هویت بر اساس عنیبه به وسیله دوربین‌های ویژه که به منظور این کار طراحی و ساخته شده‌اند گرفته شدند. نمونه‌هایی از تصویرهای این پایگاه داده در شکل (۱۸) آمده است. لازم به ذکر می‌باشد که

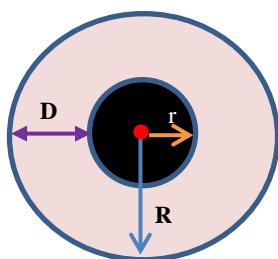
¹<http://biometrics.idealtest.org/findTotalDbByMode.do?mode=Iris>

۴-۱- ارزیابی مردمک

صرف می‌کند از همین رو با توجه به داشتن این مشخصه‌ها و انتخاب یک شعاع درست، می‌توان دایره پوششی عنبیه را بدون نیاز به استفاده از الگوریتم هاف پیدا نمود.

برای انتخاب نمودن شعاع مطلوب در پایگاه داده از ۱۰۰ تصویر متفاوت استفاده شده است. به صورتی که شعاع عنبیه‌ی هر شخص از مرکز مردمک به‌طور دستی اندازه‌گیری شده است و از شعاع مردمک که به‌وسیله تبدیل هاف به‌دست‌آمده کم شده است. به‌عبارت دیگر:

$$D = ||R - r||$$



پس از آن برای انتخاب کردن شعاع صحیح و مطلوب، میانگین همه مقادیر حاصل شده (D) را حساب کرده و با میانگین ۱۰+ پیکسل به‌عنوان شعاع مفید جهت دایره پوششی عنبیه انتخاب خواهیم کرد. به تعبیر دیگر:

$$R' = \sum_{i=0}^{100} D / 100$$

$$R'' = R' - 10$$

با انجام شدن مرحله‌های فوق ذکر شعاع اثرگذار و متناسب که در نظر گرفته شده است. برای ۱۰۰ تصویر آزمایشی مساوی با ۵۰ پیکسل مورد اندازه‌گیری قرار گرفته شده است. شکل (۱۹) یک مورد از تصاویر تشخیص عنبیه را نشان می‌دهد.



شکل (۱۹): یک نمونه از تصویرهای تشخیص مرز خارجی عنبیه

به همین ترتیب با در نظر گرفتن مرکز برابر جهت مردمک و عنبیه و محاسبه شعاع و پیدا نمودن مرز عنبیه به شیوه بیان‌شده، باعث کاهش قابل‌توجه بار زمانی و محاسباتی شده است. جدول (۲) مقایسه زمان اجرا برای پیدا کردن مرز عنبیه با استفاده از متد تبدیل هاف دایره‌ای و روش پیشنهادی پژوهش حاضر را نشان می‌دهد.

برای ارزیابی مرحله تشخیص مردمک ۱۰۰ حالت متفاوت از تصویر ورودی چشم انسان انتخاب‌شده است و الگوریتم پیشنهادی در پژوهش بر روی هر تصویر اعمال‌شده است. نتایج به‌دست آمده بیانگر آن است که از درصد موفقیت بیش از ۹۳٪ تشخیص صحیح و درست مردمک چشم می‌باشد. همین‌طور در ۵٪ از تصاویر دارای خطا و در ۲٪ از تصاویر الگوریتم پیشنهادی توانایی تشخیص مردمک را ندارد (جدول ۱). نمونه‌هایی از تصویرهای تشخیص مردمک در شکل (۱۸) قابل‌مشاهده است.

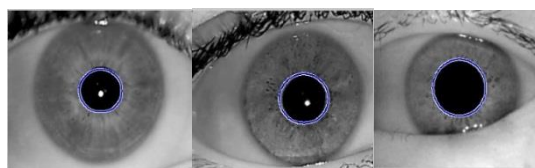
شخص اول	شخص دوم	شخص سوم	شخص چهارم	شخص پنجم	شخص ششم	شخص هفتم	شخص هشتم	شخص نهم	شخص دهم	میزان تشخیص واقعی (TDR)
0,91	0,87	0,90	0,96	0,89	0,95	0,93	0,95	0,96	0,90	

جدول (۱): میزان شناسایی صحیح بر روی ۱۰۰ تصویر چشم افراد مختلف

$$TDR = \left(\frac{\sum_{i=0}^{100} TDR^i}{100} \right)$$

$$TDR = 0.93$$

همان‌گونه که در معادله فوق قابل‌مشاهده است، جهت اندازه‌گیری اندازه نرخ تشخیص صحیح کل سیستم، از میانگین‌گیری مقادیر TDR به‌دست‌آمده برای هر فرد، استفاده‌شده است.



شکل (۱۸): نمونه‌ای از تصویرهای تشخیص مرز مردمک

۴-۲- بررسی تشخیص عنبیه

همان‌گونه که در قسمت الگوریتم پیشنهادی شناسایی عنبیه اشاره شد مشخصه‌های مرکز عنبیه و مردمک چشم بسیار مهم می‌باشند. مشخصه مرکز مردمک به‌عنوان مرکز عنبیه نیز در نظر گرفته می‌شود.

از آنجاکه تبدیل هاف دایره‌ای به دنبال مشخصه‌های مرکز مردمک می‌باشد و زمان زیادی را حل معادله‌های این بخش

پژوهش حاضر به صورت معادله‌های درجه دوم؛ درجه سوم و همچنین روش تبدیل هاف سهمی را برای ده تصویر نشان می‌دهد (نمودار ۱).

جدول (۳): زمان اجرا روش پیشنهادی به صورت معادله‌های درجه دوم؛ درجه سوم و همچنین روش تبدیل هاف سهمی

شماره تصویر	زمان (بر حسب ثانیه)		
	روش پیشنهاد شده در پژوهش حاضر درجه سوم	روش پیشنهاد شده در پژوهش حاضر درجه دوم	هاف سهمی
تصویر اول	۰/۱۱۷۶	۰/۰۸۱۳	۰/۶۳۲۵
تصویر دوم	۰/۰۶۴۸	۰/۰۵۲۵	۰/۸۷۱۸
تصویر سوم	۰/۱۷۲۶	۰/۰۲۶۱	۰/۹۰۶۱
تصویر چهارم	۰/۱۲۰۵	۰/۰۴۸۳	۰/۶۷۹۲
تصویر پنجم	۰/۰۸۹۶	۰/۰۴۷۵	۰/۵۸۰۳
تصویر ششم	۰/۰۹۴۸	۰/۰۴۸۷	۰/۷۸۳۰
تصویر هفتم	۰/۱۰۵۷	۰/۰۳۰۵	۰/۵۹۱۲
تصویر هشتم	۰/۰۹۷۶	۰/۰۶۵۲	۰/۹۵۷۳
تصویر نهم	۰/۰۶۸۳	۰/۰۵۵۳	۰/۷۴۹۱
تصویر دهم	۰/۰۹۳۷	۰/۰۸۴۵	۰/۶۳۷۲

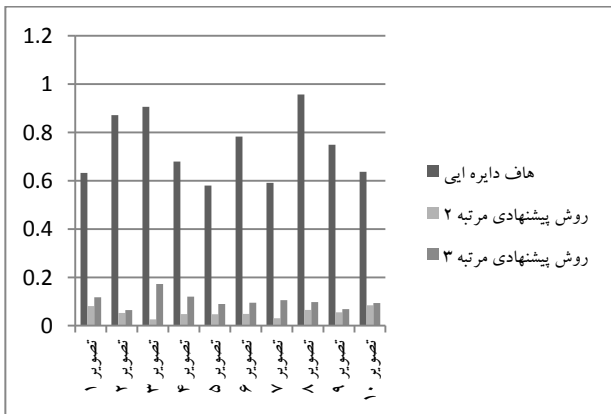
جدول (۲): مقایسه زمان اجرا جهت پیدا کردن مرز عنبیه با استفاده از متد تبدیل هاف دایره‌ای و روش ارائه شده

شماره تصویر	زمان (بر حسب ثانیه)	
	روش ارائه شده	هاف دایره‌ای
تصویر اول	۰/۰۰۰۰۸	۰/۵۶۳۶۳۲
تصویر دوم	۰/۰۰۰۰۱۰	۰/۵۷۸۳۰۲
تصویر سوم	۰/۰۰۰۰۰۸	۰/۶۱۹۴۳۶
تصویر چهارم	۰/۰۰۰۰۰۹	۰/۵۶۹۶۲۱
تصویر پنجم	۰/۰۰۰۰۰۷	۰/۵۱۹۶۴۰

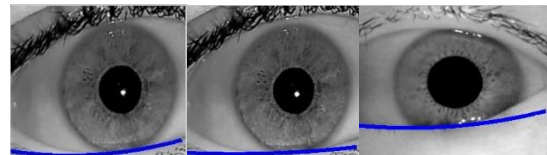
همان‌گونه که در جدول (۲) بیان شده زمان اجرا روش پیشنهادی پژوهش حاضر نسبت به زمان اجرای متد تبدیل هاف کاهش قابل توجهی دارد و همین کاهش زمان، موجب کاهش بار محاسباتی می‌باشد. در روش پیشنهادی پژوهش حاضر برای یافتن مرز مفید عنبیه از مشخصه‌ها و داده‌های حاصل شده در مراحل قبلی استفاده شده و نیز شعاع با توجه به معادله اشاره شده محاسبه گردیده و الگوریتم مدنظر دیگر نیازی به محاسبه تبدیل هاف و به دست آوردن چهار مولفه تبدیل هاف ندارد.

۴-۳- بررسی الگوریتم شناسایی پلک

از بزرگترین نویزهایی که در تصاویر چشم وجود دارد پلک‌ها می‌باشند. زیرا امکان دارد عنبیه در شرایطی قرار داشته باشد که بخشی از آن در زیر پلک باشد که در این صورت بخشی از پلک به عنوان عنبیه چشم در نظر گرفته می‌شود. در مرحله استخراج خصوصیات از این منطقه نیز ویژگی‌های اشتباهی استخراج خواهد شد. به همین دلیل کاهش بار محاسباتی و اجتناب از اعمال الگوریتم تبدیل هاف سهمی و همچنین دقت بیشتر، از روش سهمی درجه دوم استفاده شده است.

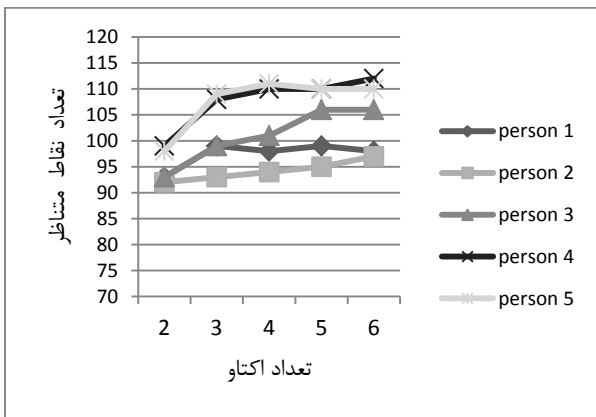


نمودار (۱): زمان اجرا روش پیشنهادی به صورت معادله درجه دوم و درجه سوم و روش تبدیل هاف سهمی



شکل (۲۰): تشخیص پلک به وسیله روش پیشنهاد شده در پژوهش حاضر (سهمی درجه دو)

همچنین در نتایج به دست آمده مشاهده می‌شود که روش پیشنهاد شده در پژوهش حاضر از نظر زمان اجرا به نسبت تبدیل هاف سهمی دارای سرعت بالاتری می‌باشد. جدول (۳) نتایج به دست آمده از مقایسه زمان اجرا روش پیشنهاد شده در



نمودار (۳): تعداد اکتاو مناسب برای الگوریتم سیفت

۴-۵- ماتریس درهم‌ریختگی یا گمگشتگی

ماتریسی که در آن کارکرد الگوریتم‌های مربوطه قابل مشاهده است، ماتریس درهم‌ریختگی گفته می‌شود. عمدتاً چنین نمایشی جهت الگوریتم‌های یادگیری با ناظر استفاده می‌شود، اگرچه در یادگیری بدون ناظر نیز کاربرد دارد. معمولاً به کاربرد این ماتریس در الگوریتم‌های بدون ناظر ماتریس تطابق می‌گویند. هر ستون از ماتریس، نمونه‌ای از اندازه پیش‌بینی شده را نمایش می‌دهد. در صورتی که هر سطر نمونه‌ای واقعی (درست) را در بردارد. این ماتریس از آنجا بدین نام معروف شده که به کمک آن راحت‌تر می‌توان تداخل بین نتایج و اشتباه را مشاهده نمود.

در این ماتریس هر سطر نشان‌دهنده اندازه فاصله اقلیدسی با هر ستون می‌باشد. به همین صورت که چند تصویر متفاوت از هر شخص با ۹ تصویر دیگر به‌عنوان جفت تصویر به الگوریتم داده شده و اندازه فاصله اقلیدسی اندازه‌گیری و در نهایت میانگین‌گیری شده است. همان‌گونه که در جدول (۴) درهم‌ریختگی را نشان می‌دهد، مقدار اندازه‌گیری شده جهت قطر اصلی مساوی با صفر می‌باشد.

۴-۶- اندازه‌گیری میزان دقت روش پیشنهادشده در

پژوهش حاضر

جهت اندازه‌گیری میزان دقت سیستم در تشخیص اشخاص در حالات متفاوت از یک شخص خاص، معیارهای TP و TN بکار رفته است. معیار TP تعداد نقاط ویژگی است که در ۲ تصویر متفاوت از یک شخص به‌صورت درست متناظر بوده و الگوریتم به درستی شناسایی کرده است (تعداد خطوط صاف در تصاویر تناظریابی شده). معیار TN تعداد نقاط ویژگی است که در ۲ تصویر متفاوت از یک شخص به اشتباه متناظر شده است (تعداد خطوط مورب و غیر صاف). به‌علاوه میزان دقت برای هر دسته از تصویرها با استفاده از معادله زیر محاسبه شده است:

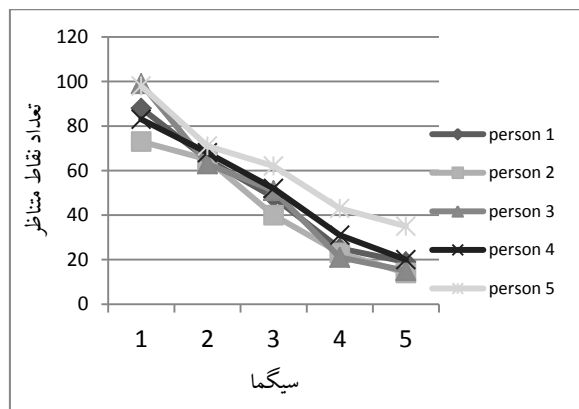
$$\text{Accuracy} = \frac{TP}{TP + TN}$$

همان‌گونه که در جدول (۳) و نمودار (۱) قابل مشاهده است زمان اجرای روش پیشنهادشده در پژوهش حاضر با معادله درجه دوم از روش پیشنهادشده با معادله درجه سوم و روش تبدیل‌هاف به میزان کمتری می‌باشد زیرا در چنین حالتی تعداد مولفه‌های حساب‌شده به نسبت دیگر روش‌های بیان‌شده کمتر است. ولی از نظر میزان دقت در تشخیص مرز پلک‌ها هر سه روش ذکر شده دارای دقت قابل قبولی هستند.

۴-۴- بررسی مولفه‌های مساله

از اساسی‌ترین اقدام در کارکرد مناسب یک سیستم، تنظیم مناسب و درست پارامترهای سیستم می‌باشد. بنابراین در صورت عدم انتخاب پارامترهای صحیح، سیستم دچار خطا خواهد شد و نتایج مناسب و قابل قبولی را ارائه نمی‌کند. مولفه‌های سیگما و تعداد اکتاو در الگوریتم سیفت از جمله مولفه‌های کلیدی و دارای اهمیت می‌باشند که می‌توانند تا حد بالایی بر کارکرد سیستم اثرگذار باشند. از همین رو در این مرحله به ارزیابی و بررسی این دو مولفه بر اهمیت خواهیم پرداخت.

۴-۴-۱- بررسی مولفه سیگما در سیفت



نمودار (۲): نتایج به‌دست‌آمده از اندازه‌گیری سیگما

۴-۴-۲- مشخص کردن تعداد اوکتاو^۱ در الگوریتم سیفت

پارامتر اکتاو یکی دیگر از پارامترهای تأثیرگذار و دارای اهمیت در کارایی الگوریتم سیفت می‌باشد. به‌منظور مشخص کردن این پارامتر الگوریتم را با تصاویر ثابتی تست کرده و با توجه به نتایج به‌دست‌آمده در نمودار (۳) تعداد اکتاو مطلوب برای الگوریتم سیفت ۴ اکتاو در نظر گرفته شده است. همان‌گونه که در نمودار (۳) قابل مشاهده است. نمودار جابجایی تعداد ویژگی‌های یافت شده در الگوریتم بعد از میزان مناسب اکتاو ثابت می‌شود.

^۱ Octave

جدول (۴): ماتریس درهم‌ریختگی به‌دست‌آمده از ۵ شخص (۱۰ جفت عکس)

شخص اول	شخص دوم	شخص سوم	شخص چهارم	شخص پنجم	شخص ششم	شخص هفتم	شخص هشتم	شخص نهم	شخص دهم	فاصله
۰	۰/۹۸۳	۰/۷۵۱	۰/۸۵۱	۰/۸۵۰	۰/۶۳۷	۰/۸۴۰	۰/۹۶۱	۰/۹۷۱	۰/۸۴۳	شخص اول
۰/۹۸۳	۰	۰/۷۳۶	۰/۹۰۴	۰/۵۹۳	۰/۷۳۵	۰/۸۳۵	۰/۷۴۳	۰/۸۴۰	۰/۶۰۶	شخص دوم
۰/۷۵۱	۰/۷۳۶	۰	۰/۷۰۲	۰/۷۳۶	۰/۸۴۷	۰/۵۲۰	۰/۹۵۴	۰/۸۵۴	۰/۶۸۴	شخص سوم
۰/۸۵۱	۰/۹۰۴	۰/۷۰۲	۰	۰/۵۴۷	۰/۸۲۱	۰/۷۴۲	۰/۵۰۴	۰/۷۳۲	۰/۹۴۳	شخص چهارم
۰/۸۵۰	۰/۵۹۳	۰/۷۳۶	۰/۵۴۷	۰	۰/۷۳۴	۰/۷۵۱	۰/۸۵۷	۰/۷۵۴	۰/۸۵۳	شخص پنجم
۰/۶۳۷	۰/۷۳۵	۰/۷۳۶	۰/۸۲۱	۰/۷۳۴	۰	۰/۹۴۳	۰/۷۳۰	۰/۳۵۴	۰/۴۳۰	شخص ششم
۰/۸۴۰	۰/۸۳۵	۰/۵۲۰	۰/۷۴۲	۰/۷۵۱	۰/۹۴۳	۰	۰/۷۴۵	۰/۸۰۴	۰/۶۸۴	شخص هفتم
۰/۹۶۱	۰/۷۴۳	۰/۹۵۴	۰/۷۳۲	۰/۸۵۷	۰/۷۳۰	۰/۷۴۵	۰	۰/۶۵۳	۰/۸۵۵	شخص هشتم
۰/۹۷۱	۰/۸۴۰	۰/۸۵۴	۰/۷۳۲	۰/۷۵۴	۰/۳۵۴	۰/۸۰۴	۰/۶۵۳	۰	۰/۶۰۲	شخص نهم
۰/۸۴۳	۰/۶۰۶	۰/۶۸۴	۰/۹۴۳	۰/۸۵۳	۰/۴۳۰	۰/۶۸۴	۰/۸۵۵	۰/۶۰۲	۰	شخص دهم

همان‌گونه که در جدول (۵) قابل مشاهده است، بیشترین میزان دقت اندازه‌گیری شده ۰/۹۶ (دقت مقایسه هر تصویر با خودش) و کمترین میزان دقت ۰/۸۶ می‌باشد. همچنین بیشترین میانگین اندازه‌گیری شده ۰/۹۴ می‌باشد

جدول (۵): اندازه‌گیری میزان دقت روش پیشنهادشده در پژوهش حاضر

تصویر اصلی هر شخص	تصویرها در شرایط متفاوت					میانگین دقت (ACC)
	تصویر ۱	تصویر ۲	تصویر ۳	تصویر ۴	تصویر ۵	
شخص اول	TP=89 TN=0 Acc=1	TP=85 TN=7 Acc=0.92	TP=83 TN=4 Acc=0.95	TP=93 TN=14 Acc=0.86	TP=88 TN=9 Acc=0.9	۰/۹۲
شخص دوم	TP=76 TN=0 Acc=1	TP=70 TN=5 Acc=0.93	TP=71 TN=9 Acc=0.88	TP=82 TN=9 Acc=0.90	TP=101 TN=12 Acc=0.89	۰/۹۲
شخص سوم	TP=92 TN=0 Acc=1	TP=88 TN=5 Acc=0.94	TP=86 TN=7 Acc=0.92	TP=91 TN=8 Acc=0.91	TP=93 TN=8 Acc=0.92	۰/۹۳
شخص چهارم	TP=86 TN=0 Acc=1	TP=73 TN=7 Acc=0.91	TP=75 TN=8 Acc=0.90	TP=79 TN=11 Acc=0.87	TP=83 TN=6 Acc=0.93	۰/۹۲
شخص پنجم	TP=89 TN=0 Acc=1	TP=78 TN=6 Acc=0.92	TP=88 TN=3 Acc=0.96	TP=80 TN=6 Acc=0.93	TP=84 TN=7 Acc=0.92	۰/۹۵

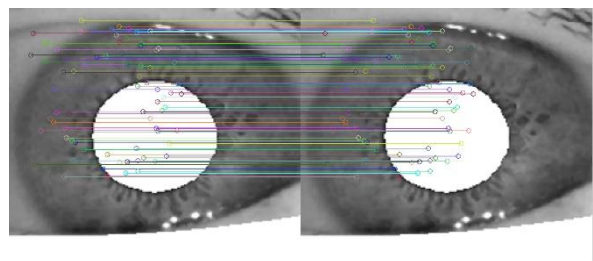
جدول (۶) حاصل جمع‌بندی نتایج به‌دست‌آمده از آزمایش و مقایسه روش‌های ارائه‌شده می‌باشد

جدول (۶): مقایسه زمان اجرا و دقت

دقت (تا دو رقم)	تطبیق (ms)	استخراج ویژگی (MS)	روش
۹۲	۱۱	۱۷۰/۳	بولز
۱۰۰	۴/۳	۶۸۲/۵	داگمن
۹۹	۱۳/۱	۴۲۶/۸	تان
۹۳	۴۰/۱۰	۲۱۰/۰	واپلدز
۹۳	۳/۰۷	۱۳۲/۸۷	روش پیشنهادی

در شکل (۲۱) نمونه‌هایی از تناظریابی درست و غلط به‌وسیله

الگوریتم نشان داده‌شده است.



شکل (۲۱): تناظریابی درست دو تصویر یکسان از یک شخص

۵- نتیجه گیری

تشخیص، مکان‌یابی و استخراج ویژگی‌های عنبیه یکی از پرچالش‌ترین، مهم‌ترین و البته قابل‌اعتمادترین روش‌های تشخیص هویت بر اساس بیومتریک بدن شخص می‌باشد. چون تصویر چشم شخص مدنظر می‌تواند تحت تأثیر عوامل نویزی فراوانی قرار بگیرد، میزان تغییر فاصله از دوربین، چرخش سر در زمان تصویربرداری، روشنایی نور، پلک‌ها و مژه‌ها از نوزدهایی می‌باشند، که توانایی این را دارند که نتایج تشخیص را دچار تغییر کنند. همان‌گونه که در بخش سه به تفصیل بیان شد، روش پیشنهادی در پژوهش حاضر از نظر معیارهای زمان اجرا و دقت مورد بررسی قرار گرفته و سپس با روش‌های انجام‌شده قبلی مورد مقایسه قرار گرفته است.

همان‌گونه که در جدول (۶) قابل مشاهده است، روش پیشنهادی پژوهش از نظر زمان اجرای استخراج و مطابقت با ویژگی‌ها به نسبت دیگر الگوریتم‌های آورده شده بهینه‌تر می‌باشد. همین‌طور روش ارائه‌شده از نظر تشخیص با دقت ۹۳٪ نسبت به دو روش بولز و وایلدز مناسب‌تر بوده ولی از دو روش تان و داگمن از دقتی با درصد پایین‌تر برخوردار می‌باشد که البته روش پیشنهادی زمان تطبیق کمتری دارد.

به عبارت دیگر روش پیشنهادی توانایی تشخیص و شناخت هویت اشخاص با دقت مطلوب و زمان اجرای بهینه به نسبت روش‌های گذشته می‌باشد. اما از نظر قطعه‌بندی درست عنبیه در تصاویری که عنبیه و مردمک در زیر پلک قرار دارند، الگوریتم‌های تست شده قبلی از درصد موفقیت بیشتری به نسبت روش پیشنهادی برخوردار هستند. به همین دلیل برای ادامه راه این تحقیق پیشنهاد می‌گردد، برای بالا بردن دقت در مرحله قطعه‌بندی عنبیه، اقدام به بهتر شدن الگوریتم قطعه‌بندی نموده و پژوهش‌ها در این زمینه ادامه داشته باشد. به‌طور مشخص پیشنهاد می‌شود در پژوهش‌های آتی ارائه مدل تهدیدات، حملات و آسیب‌پذیری‌ها در شبکه‌های حسگر بیسیم مورد بررسی قرار گیرد. به‌علاوه پیشنهاد می‌شود در پژوهش‌های آتی چالش‌ها و مشکلات شبکه‌های WBAN مورد ارزیابی قرار بگیرد.

۶. مراجع

- [4] K. T. Nguyen, M. Laurent, et al. "Survey on secure communication protocols for the Internet of Things", *Ad Hoc Networks*, Vol. 32, pp. 17-31, 2015.
- [5] Z. Shelby, "Constrained RESTful environments (CoRE) link format", *RFC*, Vol. 6690, pp. 1-22, 2012.
- [6] Y. Kong, M. Zhang, et al. "A belief propagation-based method for task allocation in open and dynamic cloud environments", *Knowl-Based Syst.*, Vol. 115, pp. 123-132, 2017.
- [7] Z. Xia, X. Wang, et al. "A privacy-preserving and copy-deterrence content-based image retrieval scheme in cloud computing", *IEEE T. Inform. Foren Security*, Vol. 11, no. 11, pp. 2594-2608, 2016.
- [8] Z. Xia, X. Wang, et al. "A Secure and Dynamic Multi-Keyword Ranked Search Scheme over Encrypted Cloud Data", *IEEE T. PARALL DISTR, Trans. Parallel Distrib. Syst.*, Vol. 27, no. 2, pp. 340-352, 2016.
- [9] J. Shen, J. Shen, et al. "An efficient public auditing protocol with novel dynamic structure for cloud data", *IEEE T Inform. Foren Security*, Vol. 12, no. 10, pp. 2402-2415, 2017.
- [10] J. Shen, D. Liu, et al. "A secure cloud-assisted urban data sharing framework for ubiquitous-cities", *Pervasive Mob. Comput.*, Vol. 41, pp. 219-230, 2017.
- [11] G. Hsin Lai, Ch. Chen, B. Chiang Jeng, and W. Chao, "Ant-Based IP Traceback", *Expert Syst. Appl.*, Vol. 34, pp. 3071-3080, 2008.
- [12] R. Roozbehi, M. Qasemzadeh, "Using Software-Based Networks to Improve IoT Security", *Journal of Information Technology and Communication Innovations*, Vol. 1, no. 2, pp. 11-16, 2019.
- [13] L. Lamport, "Password authentication with insecure communication", *Commun. Acm.*, Vol. 24, no. 11, pp. 770-772, 1981.
- [14] R. Lennon, S. Matyas, et al., "Cryptographic authentication of time-invariant quantities", *Ieee T. Commun.*, Vol. 29, no. 6, pp. 773-777, 1981.
- [15] Y. Sung-Ming, and L. Kuo-Hong, "Shared authentication token secure against replay and weak key attacks", *Inform. Process Lett.*, Vol. 62, no. 2, pp. 77-80, 1997.
- [16] M. Kumar, "On the Weaknesses and Improvements of an Efficient Password Based Remote User Authentication Scheme Using Smart Cards", *IACR Cryptology ePrint Archive*, Vol. 163, 2004.
- [17] H.-Y. Chien, J.-K. Jan, et al., "An efficient and practical solution to remote authentication: smart card", *Computers & Security*, Vol. 21, no. 4, pp. 372-375, 2002.
- [18] E.-J. Yoon, E.-K. Ryu, et al., "Further improvement of an efficient password based
- [1] J. Katz, A. J. Menezes, et al., "Handbook of applied cryptography", CRC press, 1996.
- [2] W. Rankl and W. Effing, "Smart card handbook", John Wiley & Sons, 2004.
- [3] D. Bandyopadhyay and J. Sen, "Internet of things: Applications and challenges in technology and standardization", *Wireless Pers. Commun.*, Vol. 58, no. 1, pp. 49-69, 2011.

- [22] Y. F. Chang, W. L. Tai, et al., “Untraceable dynamic- identity- based remote user authentication scheme with verifiable password update”, *Int. J. Commun. Syst.*, Vol. 27, no. 11, pp. 3430-3440, 2014.
- [23] Q. Jiang, S. Zeadally, et al., “Lightweight three-factor authentication and key agreement protocol for internet-integrated wireless sensor networks”, *Ieee Access.*, Vol. 5, pp. 3376-3392, 2017.
- [24] P. Gope, and T. Hwang, “A Realistic Lightweight Anonymous Authentication Protocol for Securing Real-Time Application Data Access in Wireless Sensor Networks”, *Ieee T Indust Electronics*, Vol. 63, no. 11, pp. 7124-7132, 2016.
- remote user authentication scheme using smart cards”, *Ieee T. Consum. Electronics*, Vol. 50, no. 2, pp. 612-614, 2004.
- [19] X.-M. Wang, W.-F. Zhang, et al., “Cryptanalysis and improvement on two efficient remote user authentication scheme using smart cards”, *Computer Standards & Interfaces*, Vol. 29, no. 5, pp. 507-512, 2007.
- [20] A. K. Awasthi, K. Srivastava, et al., “An improved timestamp-based remote user authentication scheme”, *Computers & Electrical Engineering*, Vol. 37, no. 6, pp. 869-874, 2011.
- [21] S. Kumari, M. K. Khan, et al., “An improved remote user authentication scheme with key agreement”, *Computers & Electrical Engineering*, Vol. 40, no. 6, pp. 1997-2012, 2014.

The Improvement of the Iris-Based Authentication by Presenting the Wireless Sensor Network Architecture to Maintain Industrial Internet of Things Privacy

K. Borna^{*}, A. M. Ebadati, Sh. Zeinali

Kharazmi University, Tehran, Iran

Abstract

The Internet of Things provides instant access to information about the physical world and the objects within it, leading to new services and increasing efficiency and productivity. The wireless sensor network is an important network infrastructure in the Industrial Internet of Things and user authentication is used as a basic security mechanism to authenticate users to wireless sensor networks. In this article, we intend to provide a new way to improve the security of authentication using image processing. The analysis was performed by MATLAB software. The results presented in this article, which includes seven steps, have a 93% correct detection rate in pupil identification. These seven steps are: 1. Noise reduction, 2. Finding the outer border of the pupil, 3. Separating the eyelashes, 4. Finding the border of the eyelids, 5. Finding the outer border of the iris, 6. Separating the iris area and 7. Extracting the feature and encoding the pixels by the elliptic curve cryptography (ECC) method. With the measurements and experiments performed, it was found that the proposed method in identifying the eyelid border by the quadratic equation method is more efficient and faster in terms of time than the third-degree equation and the Huff parabolic conversion method. In order to extract the feature, the effective parameters in the SAIF feature extraction algorithm were examined and measured, and the optimal parameters were selected. The Sigma parameter with a value of 2.5 and the Octave parameter with a value of 4 should be considered as the best values. Also, in order to evaluate the resistance of the proposed method to error factors such as the angle, brightness and scale, the proposed method was tested and it was proved that the method has the appropriate resistance resolution in different conditions.

Keywords: Authentication, Wireless Sensor Networks, Privacy, Industrial Internet of Things, Image Processing

^{*} Corresponding author E-mail: borna@khu.ac.ir